

Algoritmo de paralelización para la estimación en tiempo real del ángulo de guiñada de un AUV

Claudio Paz, Gastón Araguás, Gonzalo Perez Paina, Hugo Toloza

Argencon 2014
Segundo Congreso Bienal de IEEE Argentina
San Carlos de Bariloche, Rio Negro, Argentina
11-13 de junio



Universidad Tecnológica Nacional
Facultad Regional Córdoba



Centro de Investigación
en Informática para la Ingeniería

- 1 Introducción y objetivos
- 2 Estimación visual del ángulo de guiñada
- 3 Características espectrales
- 4 Implementación multi-nodo
- 5 Resultados
- 6 Conclusiones

Introducción y objetivos

Unmanned Aerial Vehicles (UAV)

- Ventajas: baratos, fácil construcción y mantenimiento, livianos y fácil de controlar.
- Desventajas: carga útil y recursos de cómputo limitados.

Algunas aplicaciones como inspección o navegación en interiores requieren vuelo estacionario.



Sensores inerciales



Cámaras



Sonar



Magnetómetros



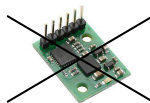
GPS

Introducción y objetivos

Unmanned Aerial Vehicles (UAV)

- Ventajas: baratos, fácil construcción y mantenimiento, livianos y fácil de controlar.
- Desventajas: carga útil y recursos de cómputo limitados.

Algunas aplicaciones como inspección o navegación en interiores requieren vuelo estacionario.



Sensores inerciales Cámaras

Sonar

Magnetómetros

GPS

Introducción y objetivos

Unmanned Aerial Vehicles (UAV)

- Ventajas: baratos, fácil construcción y mantenimiento, livianos y fácil de controlar.
- Desventajas: carga útil y recursos de cómputo limitados.

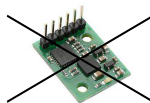
Algunas aplicaciones como inspección o navegación en interiores requieren vuelo estacionario.



Sensores inerciales Cámaras



Sonar



Magnetómetros

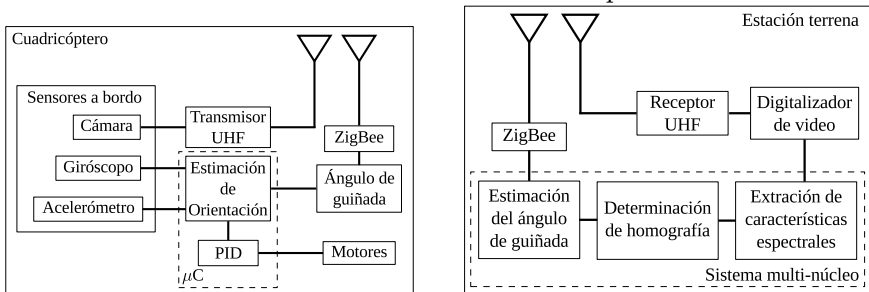


GPS

Objetivo: Estimar el ángulo de guiñada (yaw) mediante fusión cámara-IMU en tiempo real.

Diagrama en bloques

Sistema de estimación de orientación en tiempo real.



Estimación visual del ángulo de guiñada

Según el modelo pinhole

$$s\mathbf{m} = \mathbf{K}[\mathbf{R}|t] \begin{bmatrix} X \\ Y \\ 0 \\ 1 \end{bmatrix} = \mathbf{K} \begin{bmatrix} r_1 & r_2 & t \end{bmatrix} \begin{bmatrix} X \\ Y \\ 1 \end{bmatrix} = \mathbf{HM}$$

Considerando una cámara en movimiento, en el instante t_a

$$s_a \mathbf{m}_a = \mathbf{H}_{wa} \mathbf{M}$$

en el instante t_b

$$s_b \mathbf{m}_b = \mathbf{H}_{wb} \mathbf{M}$$

Estimación visual del ángulo de guiñada

Según el modelo pinhole

$$sm = K[R|t] \begin{bmatrix} X \\ Y \\ 0 \\ 1 \end{bmatrix} = K \begin{bmatrix} r_1 & r_2 & t \end{bmatrix} \begin{bmatrix} X \\ Y \\ 1 \end{bmatrix} = HM$$

Considerando una cámara en movimiento, en el instante t_a

$$s_a m_a = H_{wa} M$$

en el instante t_b

$$s_b m_b = H_{wb} M$$

si el movimiento es suave, se puede asumir que $s_a \approx s_b$

$$m_a \approx H_{ba} m_b$$

con $H_{ba} = H_{wa} (H_{wb})^{-1}$.

Estimación visual del ángulo de guiñada (continuación)

Despreciando rolo y cabeceo:

$$\mathbf{m}_a = \mathbf{H}_{ba} \mathbf{m}_b \approx \begin{bmatrix} \mathbf{R}_z & \mathbf{t} \\ \mathbf{0} & 1 \end{bmatrix} \mathbf{m}_b$$

donde $\mathbf{R}_z \in SO(2)$ es la matriz de rotación alrededor del eje focal y $\mathbf{t} \in \mathbb{R}^2$ es vector de traslación del CCS entre los instantes t_a y t_b .

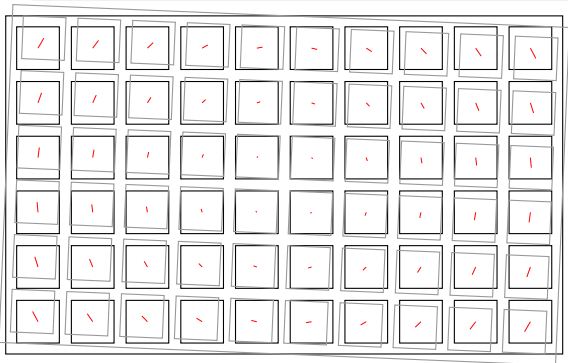
$$\mathbf{R}_z = \begin{bmatrix} \cos \psi & -\sin \psi \\ \sin \psi & \cos \psi \end{bmatrix}$$

con ψ el ángulo de guiñada.

Características espectrales

Cálculo de correspondencias

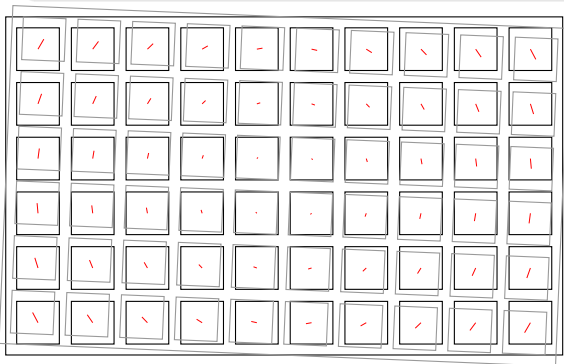
Para determinar la homografía \mathbf{H}_{ba} se debe encontrar el conjunto de correspondencias $\{m_{a_i} \leftrightarrow m_{b_i}\}$.



Características espectrales

Cálculo de correspondencias

Para determinar la homografía \mathbf{H}_{ba} se debe encontrar el conjunto de correspondencias $\{m_{a_i} \leftrightarrow m_{b_i}\}$.



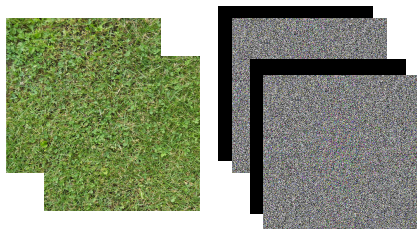
Características espectrales (continuación)



Correlación de fase (PCM)

$$i_a(x, y) = i_b(x + u, y + v)$$

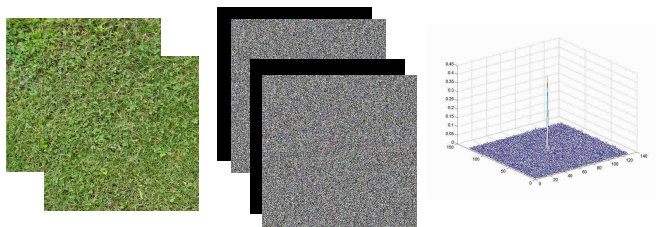
Características espectrales (continuación)



Correlación de fase (PCM)

$$i_a(x, y) = i_b(x + u, y + v) \quad \rightarrow \quad I_a(\omega_x, \omega_y) = e^{j(u\omega_x + v\omega_y)} I_b(\omega_x, \omega_y)$$

Características espectrales (continuación)



Correlación de fase (PCM)

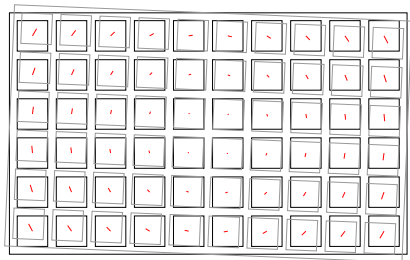
$$i_a(x, y) = i_b(x + u, y + v) \quad \rightarrow \quad I_a(\omega_x, \omega_y) = e^{j(u\omega_x + v\omega_y)} I_b(\omega_x, \omega_y)$$

$$\mathcal{C}(I_a, I_b) = \frac{I_a(\omega_x, \omega_y) I_b^*(\omega_x, \omega_y)}{|I_a(\omega_x, \omega_y)| |I_b^*(\omega_x, \omega_y)|} = e^{j(u\omega_x + v\omega_y)}$$

Características espectrales (continuación)

Definiendo los parches y estimando su desplazamiento se construye el conjunto de correspondencias

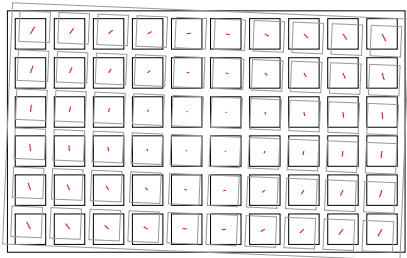
$$\{m_{a_i} \leftrightarrow m_{a_i} + \Delta d_i = m_{b_i}\}$$



Características espectrales (continuación)

Definiendo los parches y estimando su desplazamiento se construye el conjunto de correspondencias

$$\{m_{a_i} \leftrightarrow m_{a_i} + \Delta d_i = m_{b_i}\}$$



function ESTIMACION_GUIÑADA(i_t, i_{t-1})

Obtener parches p_{i_t} y $p_{i_{t-1}}$ a partir de i_t y i_{t-1}

for all $\{p_{i_t}, p_{i_{t-1}}\}$ **do**

$\Delta d_i \leftarrow$ DESPLAZAMIENTO($p_{i_t}, p_{i_{t-1}}$)

$m_{i_t} \leftarrow m_{i_{t-1}} + \Delta d_i$

end for

$\psi \leftarrow \mathbf{R}_z \leftarrow \mathbf{H} \leftarrow$ HOMOGRAFÍA($m_{i_t}, m_{i_{t-1}}$)

return ψ

end function

Implementación en arquitectura multi-nodo

Consideraciones

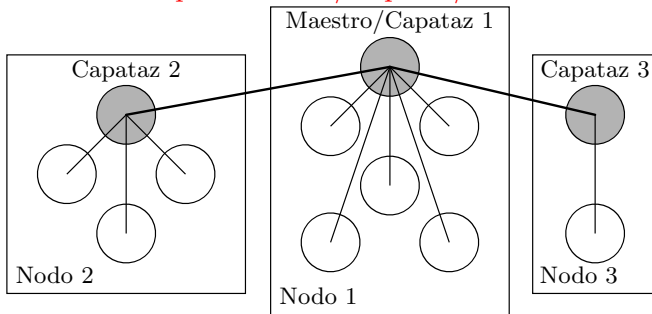
- División en parches → Particionado de dominio
- Computadoras multi-nucleos → Memoria compartida sin latencia de red
- Implementación paralela → MPI (www.mpich.org)

Implementación en arquitectura multi-nodo

Consideraciones

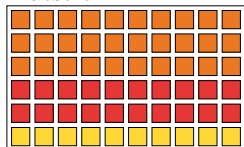
- División en parches → Particionado de dominio
- Computadoras multi-nucleos → Memoria compartida sin latencia de red
- Implementación paralela → MPI (www.mpich.org)

Jerarquía Maestro/Capataz/Esclavo

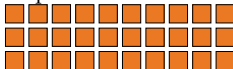


Implementación en arquitectura multi-nodo (cont.)

Maestro



Capataz A



Capataz B



Capataz C



Esclavo A1 Esclavo A2



Esclavo A3 Esclavo A4



Esclavo A5 Esclavo A6



Esclavo B1 Esclavo B2



Esclavo B3 Esclavo B4



Esclavo C1 Esclavo C2

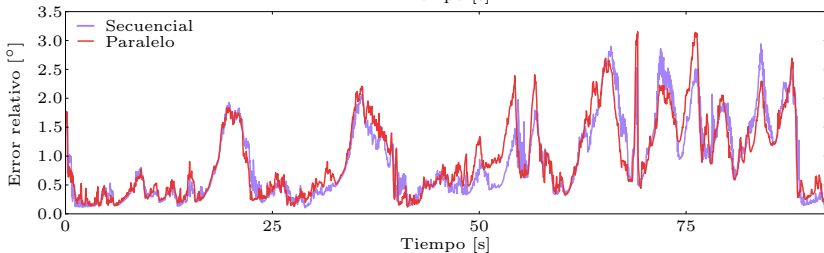
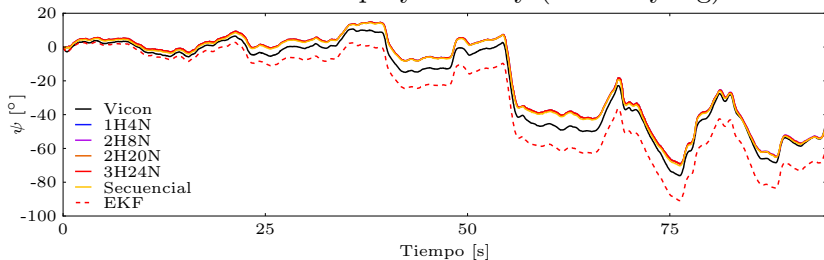


Implementación en arquitectura multi-nodo (cont.)

```
function ESTIMACION_GUIÑADA_PARALELA( $i_t, i_{t-1}$ )  
  if Procesador == Maestro then  
    Obtener bloques  $b_{j t}$  y  $b_{j t-1}$  a partir de  $I_t$  y  $I_{t-1}$   
    Enviar bloques a los  $j$  capataces  
  end if  
  if Procesador == Capataz then  
    Recibir bloques del maestro  
    Obtener parches  $p_{i t}$  y  $p_{i t-1}$  a partir de  $b_{j t}$  y  $b_{j t-1}$   
    Enviar parches a los  $i$  esclavos  
  end if  
  if Procesador == Esclavo then  
     $\Delta d_i \leftarrow \text{DESPLAZAMIENTO}(p_{i t}, p_{i t-1})$   
  end if  
  GATHER( $\Delta d_i$ )  
  if Procesador == Maestro then  
     $m_{i t} \leftarrow m_{i t-1} + \Delta d_i$   
     $\psi \leftarrow R_z \leftarrow H \leftarrow \text{HOMOGRAFÍA}(m_{i t}, m_{i t-1})$   
    return  $\psi$   
  end if  
end function
```

Resultados

MAV Datasets del proyecto sFly (www.sfly.org)

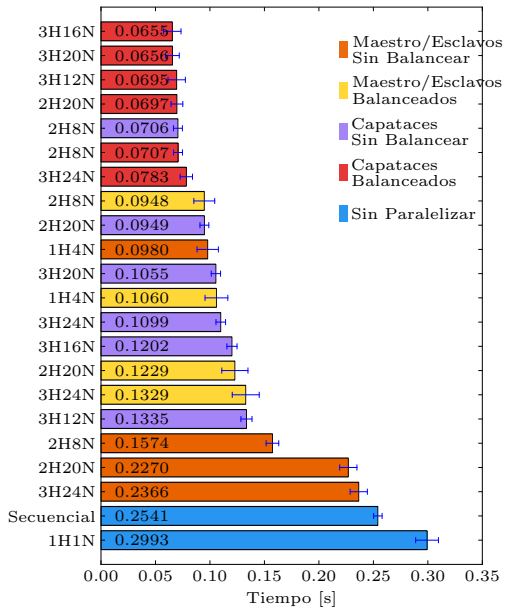


Resultados (continuación)

Speedup algorítmico

$$s_N = \frac{t_1}{t_N}$$

$$s_{16} = 3,88$$



Conclusiones y trabajo futuro

Conclusiones

- Particionado de dominio para aprovechar equipos heterogéneos.
- Maestro/Capataz/Esclavo oculta la latencia de red.
- La escalabilidad del algoritmo está sujeta a la cantidad de parches.

Trabajo futuro

- Optimización de función `cv::phaseCorrelate()`
- Implementación para GPU (Jetson TK1: Cortex A15 quad-core, con GPU onboard.)

Algoritmo de paralelización para la estimación en tiempo real del ángulo de guiñada de un AUV

Claudio Paz

Gastón Araguás

{cpaz,garaguas}@scdt.frc.utn.edu.ar

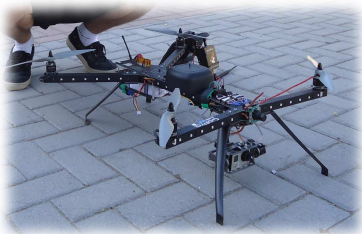


Algoritmo de paralelización para la estimación en tiempo real del ángulo de guiñada de un AUV

Claudio Paz

Gastón Araguás

{cpaz,garaguas}@scdt.frc.utn.edu.ar



Gracias.